

## ВОЗНИКНОВЕНИЕ ТУРБУЛЕНТНОСТИ ВО ВРАЩАЮЩИХСЯ ЖИДКОСТЯХ

*Ю.Н.Беллев, А.А.Монахов, С.А.Щербakov,  
И.М.Яворская*

Показано, что процесс возникновения турбулентности во вращающихся сферических слоях жидкости гораздо ближе соответствует модели Рюэля и Тэкенса, чем модели Ландау и отличается от наблюдавшегося в цилиндрическом слое и в конвекции.

Новый подход к проблеме возникновения турбулентности, вызванный работами Лоренца [1] и Рюэля и Тэкенса [2], основан на исследовании поведения в фазовом пространстве траекторий нелинейных динамических систем общего положения. В [2] показано, что в таких системах стохастичность возникает после трех – четырех нормальных бифуркаций, в результате которых в фазовом пространстве появляется притягивающее множество – странный аттрактор, на котором все фазовые траектории неустойчивы. Эта гипотеза является альтернативой модели возникновения турбулентности Ландау [3]. Современное состояние проблемы изложено в [4, 5].

Экспериментальная проверка гипотезы [2] на течениях между цилиндрами [6, 7] и в плоском конвективном слое [7, 8] в какой-то мере подтвердила ее, но и выявила существенные отличия, которые можно было бы объяснить высокой степенью симметрии этих течений. Поэтому важно проверить гипотезу на течениях более общего типа.

Изучался переход к турбулентности в течении, возникающем в сферическом слое жидкости толщины  $(r_2 - r_1)/r_1 = 1,006$  при вращении внутренней сферы в широком диапазоне чисел Рейнольдса  $Re = \Omega r_1^2 / \nu$  ( $r_1, r_2$  – радиусы сфер,  $\Omega$  – угловая скорость,  $\nu$  – вязкость). Угловая скорость поддерживалась с точностью  $\pm 0,03\%$ , жидкость термостатировалась в пределах  $\pm 0,05^\circ C$ ,  $r_1 = 74,86 \pm 0,02$  мм, радиальное биение на валу  $\sim 0,05$  мм. В экваториальной плоскости слоя устанавли-

вался пленочный датчик термоанемометра так, что максимум диаграммы чувствительности совпадал с направлением радиальной скорости. Сигнал термоанемометра автоматически вводился в оперативную память БЭСМ-6. Энергетический спектр пульсаций скорости вычислялся по 8192 точкам с помощью быстрого преобразования Фурье, автокорреляционная функция — по формуле  $R(\tau) = \frac{1}{T-\tau} \int_0^{T-\tau} f(t)f(t+\tau) dt$ , где  $\tau = 0,1T$ ,  $T \sim 500 - 1000$  периодов колебаний на основной частоте.

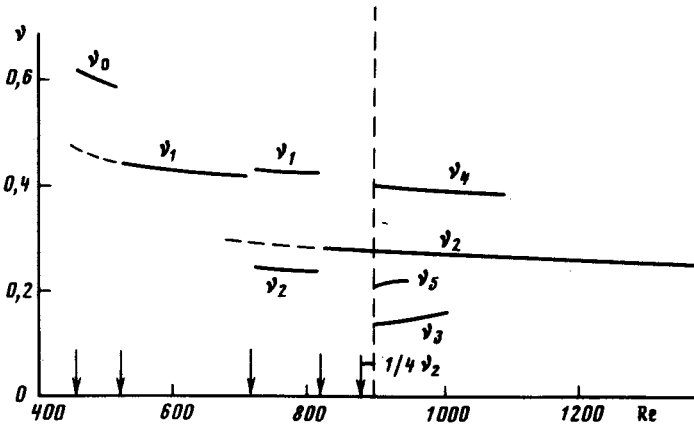


Рис. 1.

Основное течение при  $Re < Re_c^{(1)} = 460 \pm 10$  было стационарным и состояло из дифференциального вращения вокруг оси и циркуляции в меридиональной плоскости. Первая неустойчивость сопровождалась появлением в спектре частоты  $\nu_0$ , соответствующей частоте визуально наблюдаемого режима с четырьмя азимутальными вихрями [9]. Инструментальный шум давал затухание  $R(\tau) \sim 0,3\%$  (регистрируемые колебания на частоте вращения обусловлены неидеальностью изготовления сферы). Кроме описанного, с ростом  $Re$  наблюдалось еще четыре ламинарных режима, у которых  $R(\tau)$  не затухает. Зависимость безразмерных основных частот  $\nu/\Omega$  от числа  $Re$  при различных режимах течения показана на рис. 1; стрелками указаны критические числа  $Re$ , соответствующих последовательным бифуркациям. Последний ламинарный квазипериодический режим возникал при  $Re = 880$ , когда в спектре кроме основной частоты  $\nu_2$  появилась субгармоника  $1/4 \nu_2$  со своими гармониками (рис. 2, a);  $R(\tau)$  не затухает (рис. 2, b). Таким образом, на первых пяти режимах при  $Re \lesssim 2 Re_c^{(1)}$  течение имеет не более двух частот, исключая частоту вращения сферы.

Первое заметное затухание автокорреляционной функции  $\sim 2\%$  отмечено при  $Re = 895$ ; в спектре у субгармоники и ее нечетных гармоник появляются два сателлита, что физически эквивалентно амплитудной модуляции (рис. 2, c). При  $Re = 902$  регистрируются три новые частоты:  $\nu_3 = 0,1316$ ,  $\nu_4 = 0,4022$  и  $\nu_5 = 0,2078$ , по-видимому ранее совпадавшие с сателлитами  $1/2 \nu_2$ ,  $3/4 \nu_2$  и  $3/2 \nu_2$ . Поскольку зависимости  $\nu_2$ ,  $\nu_3$ ,  $\nu_4$  и  $\nu_5$  от  $Re$  различны, все эти частоты следует считать

несоизмеримыми. Можно выделить два временных интервала затухания  $R(\tau)$  (рис. 3), соответствующих быстрому затуханию  $\Delta R(\tau_0)$  за время  $\tau_0$  порядка периода основного колебания, и медленному —  $\Delta R(\tau_\infty)$  за время  $\tau_\infty$  порядка 50 — 60 периодов основной частоты.

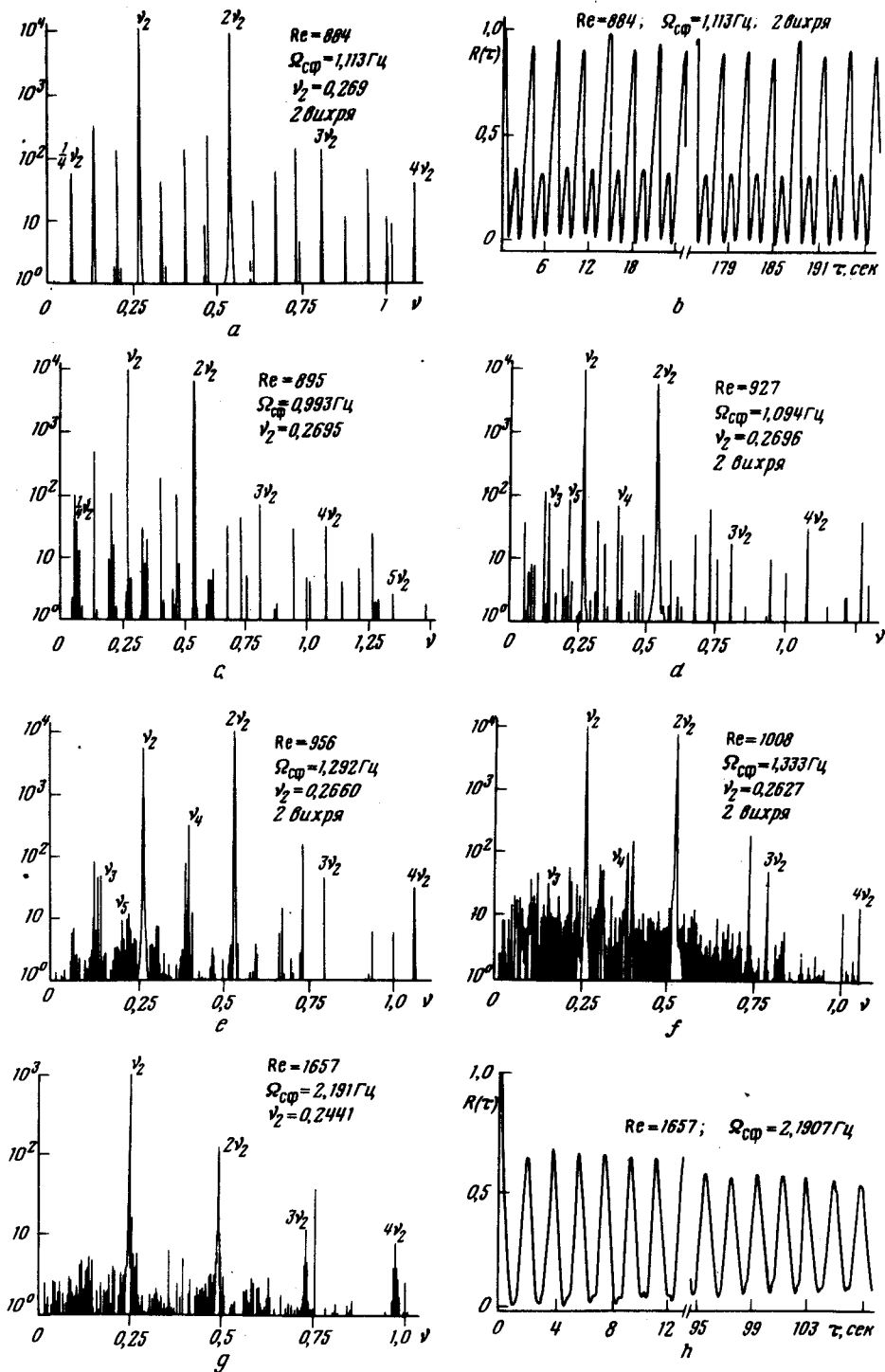


Рис. 2.

При дальнейшем росте числа  $Re$  (рис. 2, *d*,  $Re = 927$ ) в спектре возрастает вклад компонент  $\nu_4$  и  $\nu_5$ , однако их амплитуды остаются примерно на два порядка меньше амплитуды  $\nu_2$ . Спектр течения при  $Re = 956$  сильно усложнен, но сосредоточен на низких частотах рис. 2, *e*. При  $Re = 956$  частота  $\nu_5$  исчезает и резко возрастает затухание  $R(\tau)$ . Возможно, эти явления как-то связаны. Развитие спектра при  $Re = 1008$  представлено на рис. 2, *f*. В спектре колебаний при  $Re = 1657$  виден значительный рост непрерывной компоненты (рис. 2, *g*), но по-прежнему сохраняются пики на частоте  $\nu_2$ , превосходящие шум на  $\sim 2,5$  порядка; затухание  $R(\tau) \sim 50\%$  (рис. 2, *h*). Исследования проведены до чисел  $Re \sim 16000 \approx 35 Re_c^{(1)}$ . При  $Re \approx 4000$  на фоне непрерывного спектра пики на частоте  $\nu_2$  на 1,5 порядка превышают сплошную компоненту. Остаточные периодические колебания просматриваются даже при  $Re \sim 16000$ , но в них содержится менее 2% энергии.

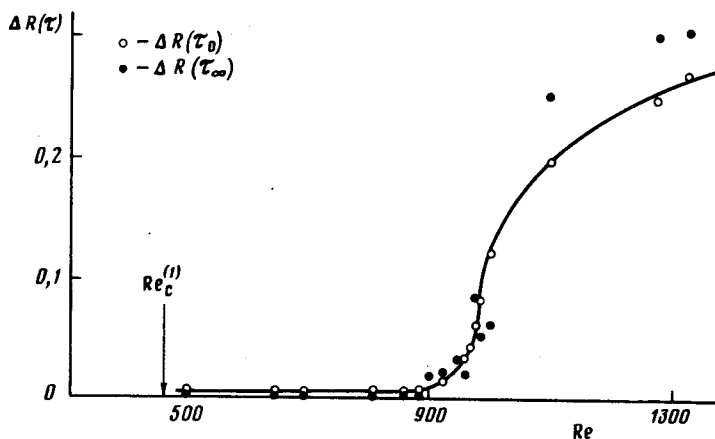


Рис. 3.

Как следует из приведенных результатов, возникновение турбулентности в сферическом течении в толстых слоях происходит несколько иначе, чем в [6, 7] и [7, 8]. В целом процесс близок к модели Рюэля и Тэкенса, хотя можно указать на значительные отличия: наличие шести бифуркаций не обязательно нормальных перед появлением стохастичности, исчезновение некоторых частот с ростом  $Re$ , существование дискретных пиков на фоне непрерывного спектра. Похоже, что модель [2] идеализирует процесс перехода к турбулентности, но улавливает в нем самое главное — малое число бифуркаций.

Институт космических исследований  
Академии наук СССР

Поступила в редакцию  
8 января 1979 г.

Институт механики  
МГУ

### Литература

[1] E.N.Lorentz. J. Atm. Sci., 20, 448, 1963.

[2] D.Ruelle, F.Takens. Comm. Math. Phys., 20, 167, 1971.

- [3] Л.Д.Ландау. ДАН СССР, 44, 311, 1944.
- [4] А.С.Монин. УФН, 125, 97, 1978.
- [5] М.И.Рабинович. УФН, 125, 123, 1978.
- [6] J.P.Gollub, H.L.Swinney. Phys. Rev. Lett., 35, 927, 1975.
- [7] P.R.Fenstermacher, H.L.Swinney et al. In "Bifurcation Theory and Application in Sci. Disciplins", N.-Y. Acad. Sci., 1978.
- [8] G.Ahlers, R.P.Behringer. Phys. Rev. Lett., 40, 712, 1978.
- [9] И.М.Яворская, Ю.Н.Беляев, А.А.Монахов. ДАН СССР, 221, 1059, 1975.
-